

Separation of Rare Metal Fission Products in Radioactive Wastes in New Directions of Their Utilization



Masaki OZAWA ^{†1,2}, Tatsuya SUZUKI ^{†2}, Shinich KOYAMA ^{†1}
and Yasuhiko FUJII ^{†2}

[†] 1 Japan Nuclear Cycle Development Institute (JNC)

[†]2 Tokyo Institute of Technology (TITECH)

JAPAN

Separation, Transmutation and Utilization



Fuel Cell

One of the Essential Issues on the Practicability of Fuel Cell is Cost Minimization by Decreasing Consumption of Platinum Element Catalysts; News , 27 July., 2001.

東京都
イ
都の

施工中のN

択捉島に希少金属

は、年間二十ト程度の生産が
技術はこれまでに開発済み。市
場の需要次第だが、理論的に
所長は、「商業化に必要な技
術はこれまでに開発済み。市
場の需要次第だが、理論的に
は、年間二十ト程度の生産が

生産量は「十五分から三十分
とされるが、シティンベルク
レニウムの世界全体の年間
生産量は「十五分から三十分
とされるが、シティンベルク
所長は、シティンベルク

レニウムの世界全体の年間
生産量は「十五分から三十分
とされるが、シティンベルク
所長は、「商業化に必要な技
術はこれまでに開発済み。市
場の需要次第だが、理論的に
は、年間二十ト程度の生産が

同研究会が一月にまとめた報告書では▽燃料電池の実用化・普及に向けた課題は燃料電池本体（スタック）改質器、水素燃料貯蔵、全体システム等について、高効率化、耐久性等の向上に向けた技術開発が必要▽特に固体高分子電質膜製造の低コスト化、白金触媒の使用量低減による低コスト化等が課題▽触媒に使用される希少な資源の制約、固体高分子電解質膜に使用されるフッ素系化合物について廃棄・処分の問題、社会的受容性の醸成・向上、研究開発に携わる人材不足への対応が必要▽燃料電池の燃料となる水素をどのように製造・供給するかが、その燃料供給イフラの整備と合わせて大きな課題一等としている。

は来月八日に会合を開き、この場で一月にまとめた燃料電池実用化・普及への課題等に係わる報告書内容をさらに煮詰めることとした。来年度予算要求時期を控え燃料電池の普及促進を図るために具体的な施策を整理することが目的。燃料電池戦略研究会は燃料電池導入の意義を明確化するとともに、その実用化に向けた課題の抽出と課題解決の方針を探るため昨年十二月に発足したものの。

資工庁の「燃料電池実用化戦略研究会」
来年度予算要求控え報告書の再吟味へ

て試験に入る予定。

- 5 -

Re Resource

Russia extracted Re (ReS₂?) from Volcano gas of Kudryavy at Etorohu Island. Annually 500 kg (possible max.20 ton) of Re will be produced; News , 11 Sep., 2003.

リヤブイ火山で、ロシアの研究者グループが十日までに、火山ガスから希少金属レニウムの抽出に成功した。作業を指揮したロシア火山・地球物理学研究所（サハリン島・ユジノサハリンスク）のゲンリフ・シティンベルク所長が同日、本紙の電話取材に対して明らかにしたもので、当面、同研究所が年間約五千キログラム生産を開始する予定。

レニウムの世界全体の年間生産量は「十五分から三十分」とされるが、シティンベルク所長は、「商業化に必要な技術はこれまでに開発済み。市場の需要次第だが、理論的には、年間二十ト程度の生産が

可能」としている。同所長によると、ロシアではレニウムは産出されず、将来、北方領土の返還問題に影響する可能性もある。

シティンベルク所長によるレニウムの市場価格は一キログラム一千四百ル（約十四万四千円+十六万八千円）で、チリやカナダが主な生産国。

リヤブイ火山で、ロシアの研究者グループが十日までに、火山ガスから希少金属レニウムの抽出に成功した。作業を指揮したロシア火山・地球物理学研究所（サハリン島・ユジノサハリンスク）のゲンリフ・シティンベルク所長が同日、本紙の電話取材に対して明らかにしたもので、当面、同研究所が年間約五千キログラム生産を開始する予定。

レニウム 原子番号75の希少金属。融点が3180度とタングステンに次いで高く、これを混ぜた合金は耐熱性に優れる。ロシアでは、石油精製の触媒や、ロケット、航空機のエンジン素材として用途が注目されている。

Rare metal	Ru	Rh	Pd	Tc	Te	Se	Note
Amount (kg/HMt)	12.5	3.6	11.1	3.3	2.7	0.2	FBR-SF; 150,000 MWd/t, Cooled 4 years.

Spent Nuclear Fuel, As an Artificial Ore

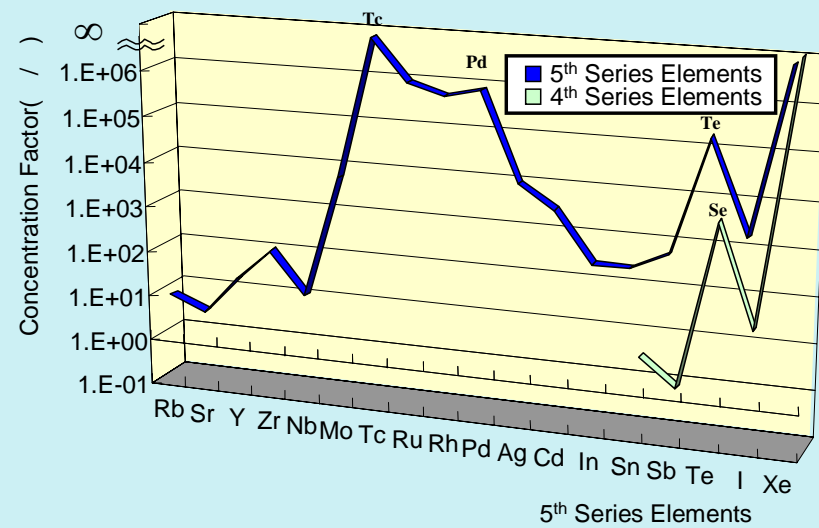


Fig. Specific Radio Toxicity (Hazard Index) of RMFP in FR Spent Fuel after 4 years cooling.

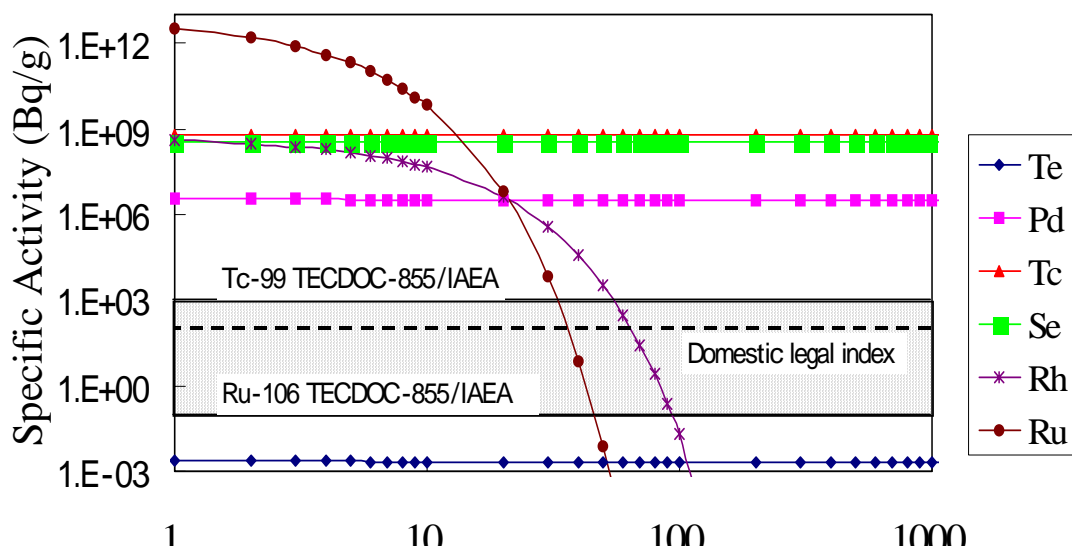
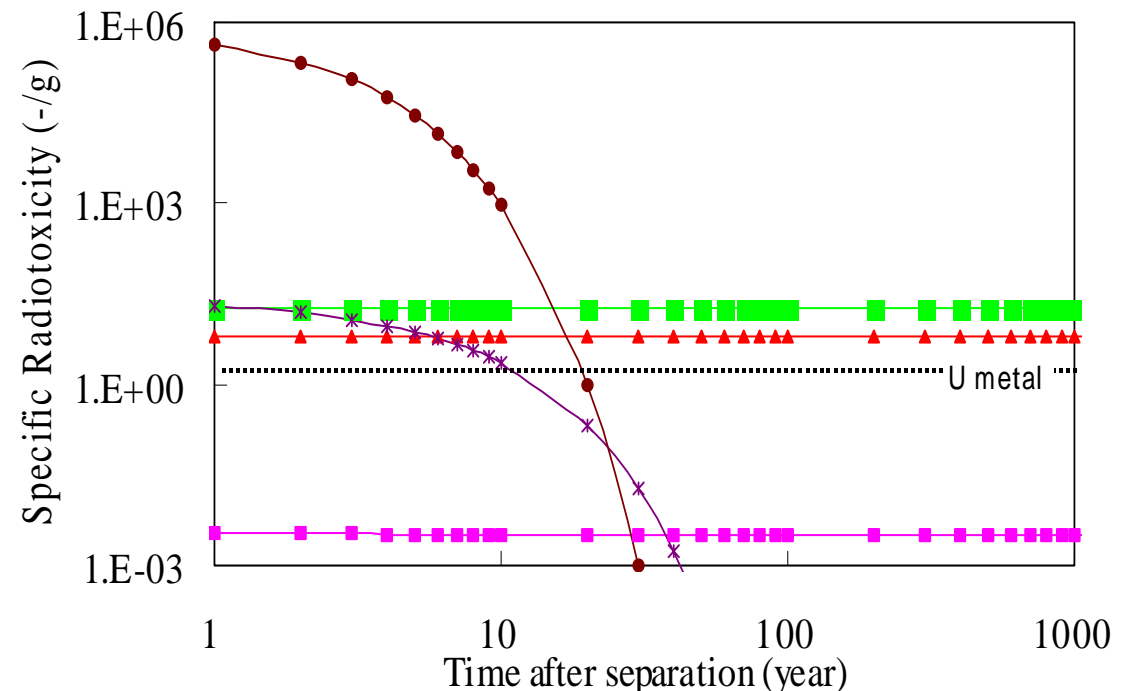


Fig. Time Dependency of Specific Activities of RMFP Separated from the FBR Spent Fuels cooled for 4 years

"Clearance levels" are proposed by IAEA "TECDOC-855" from 10^{-1} to 10^3 Bq/g, for instance,
 $0.1 \text{ Ru-106} < 10, 100 \text{ Tc-99} < 1000$ (as for reference, 74 Bq/g, Japan domestic legal index).

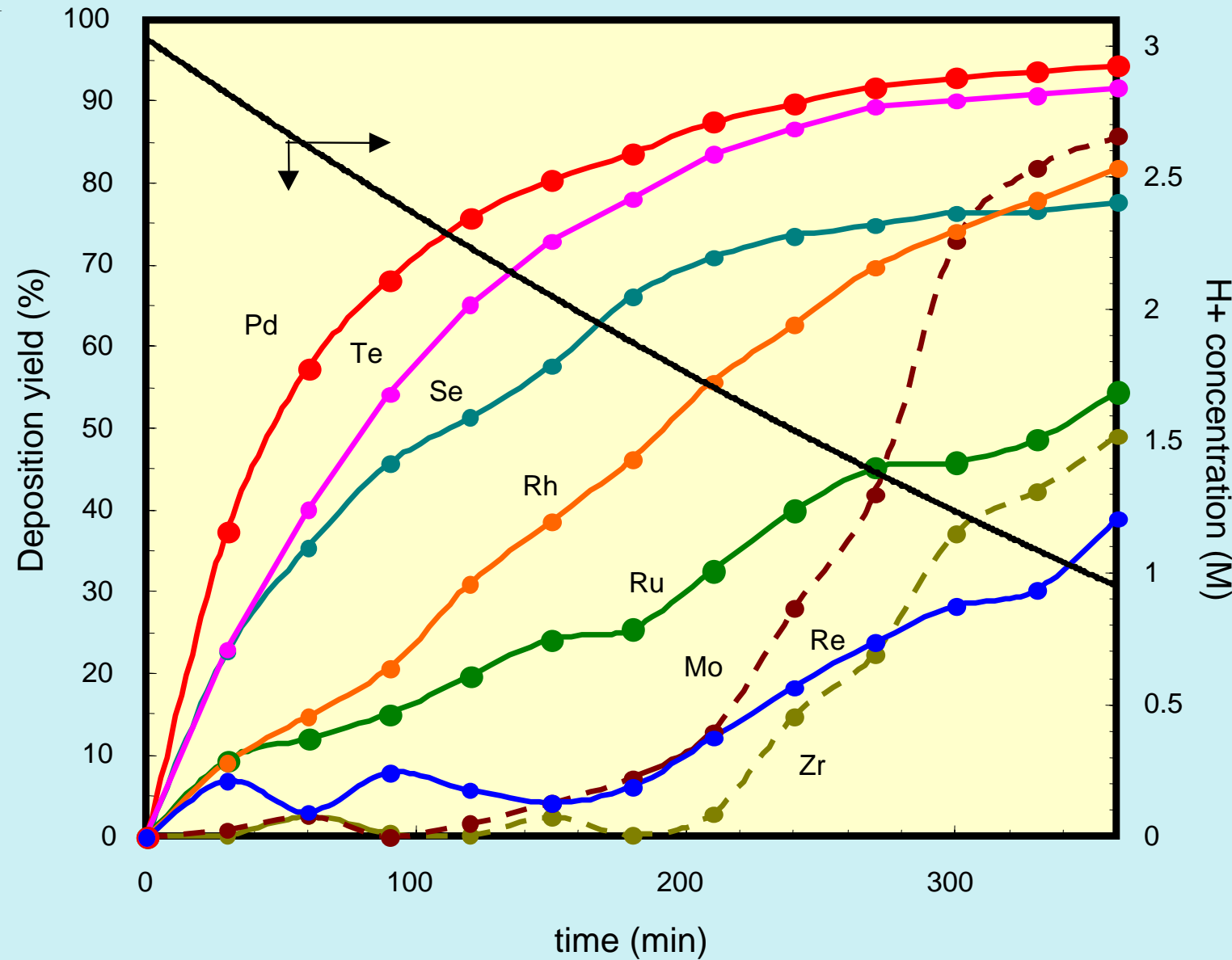


Fig. Catalytic Electrolytic Extraction of RMFP from Simulated HLLW

Galvanostatic Electrolysis ; 500mA/cm² (Cathode), Room temp. Cathode; Pt-Ti, 20cm², S/V: 1/15cm⁻¹, Pd²⁺ Addition; Continuously (2.53gPd²⁺/hr), Pd_{added}/Ru=3.6, Pd_{added}/Rh=16.0, Pd_{added}/Re=9.1

Effect of CEE (II) ; Tc

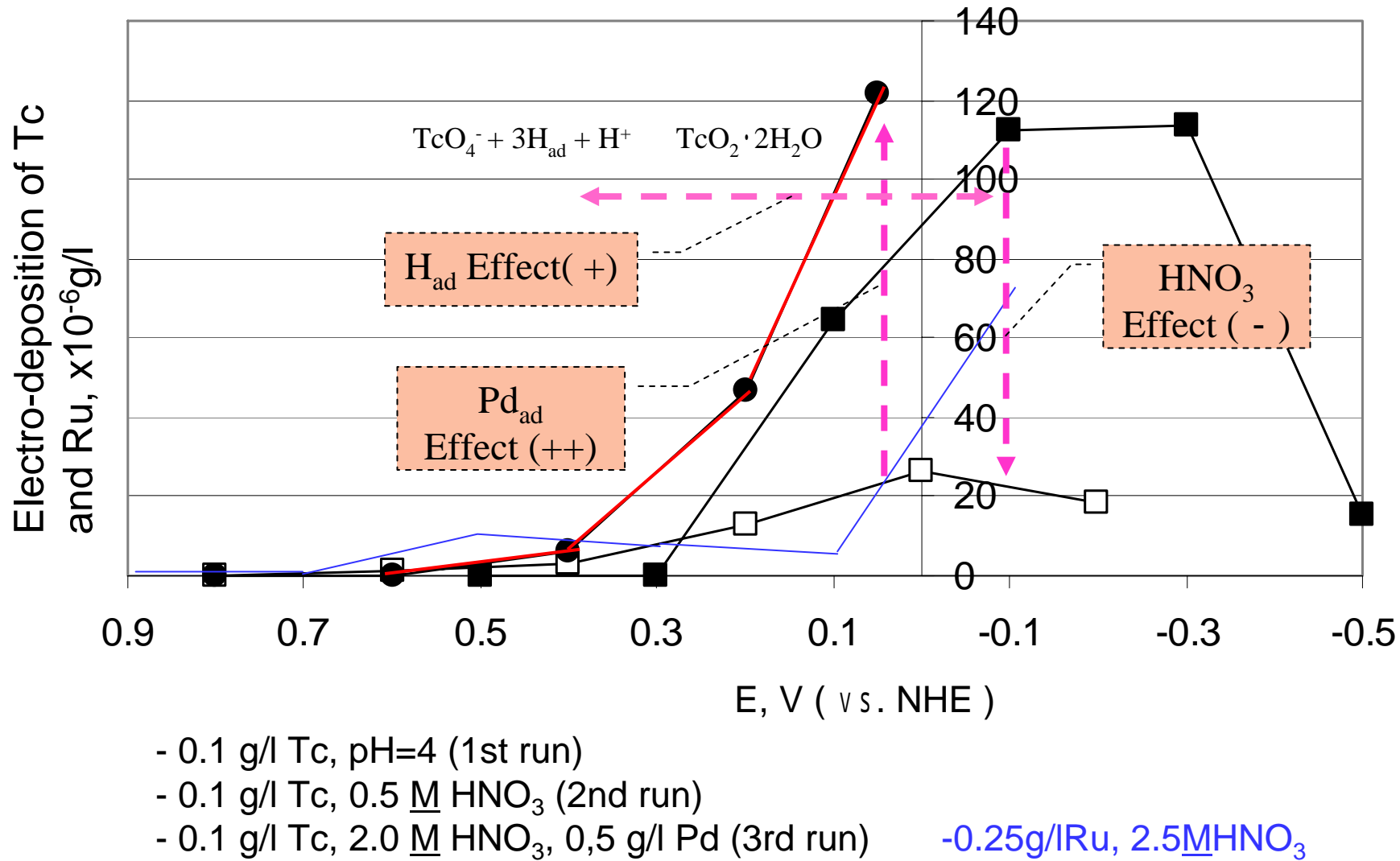
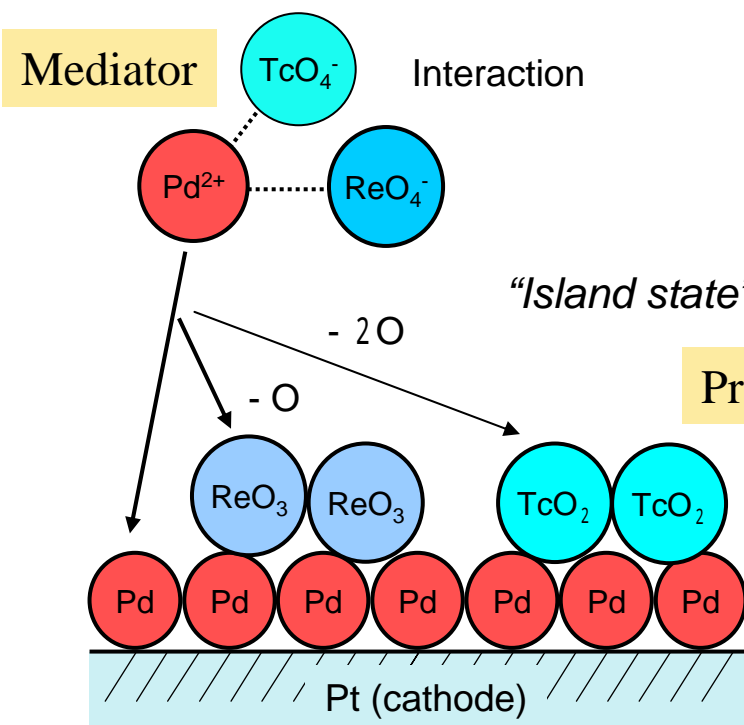


Fig. Acceleration of Electro-deposition of TcO_4^- by Addition of Pd^{2+}
Data obtained by KRI through JNC-KRI Collaboration 2003

Deposition of Tc or Re with Pd

- Interaction between TcO_4^- or ReO_4^- and Pd^{2+} in the bulk solution
- Deposition of ReO_3 and Pd on the cathode
- No change of the deposition potential for Re from the mono ionic solution of Re



Deposition of Ru with Pd

- No interaction between RuNO_3^{3+} and Pd^{2+} in the bulk solution
- Deposition of Ru-Pd alloy on the cathode
- Decrease of the deposition potential for Ru comparing to that in the mono ionic solution of Ru

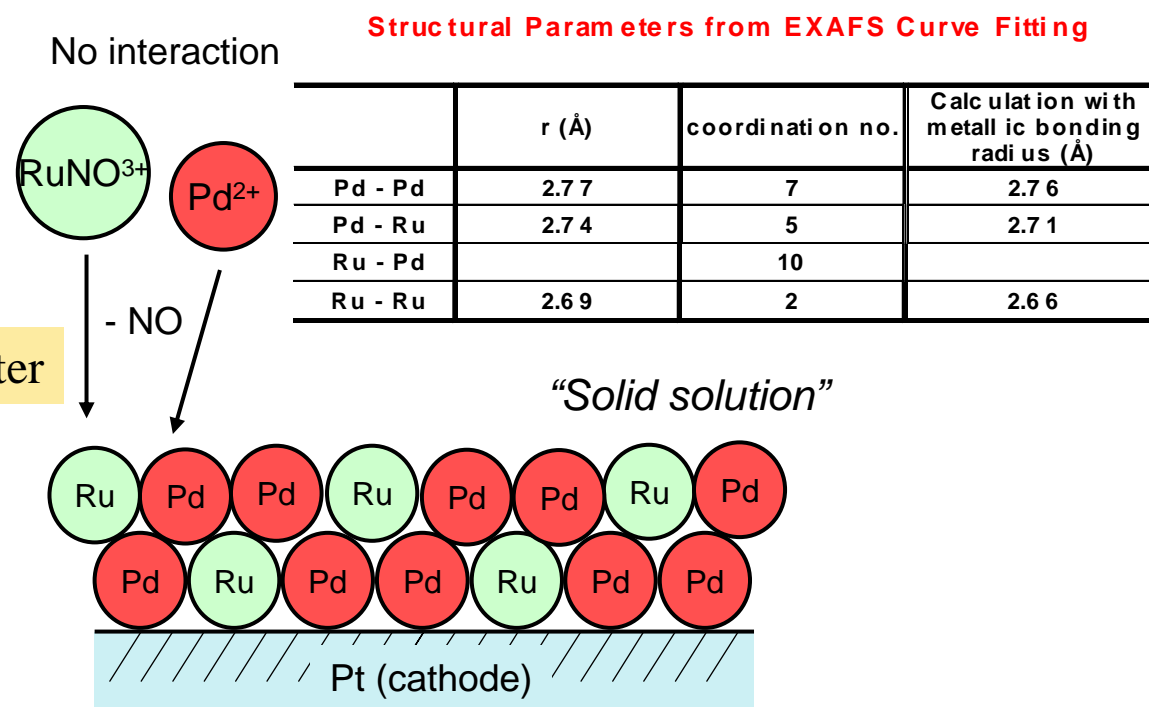


Fig. Model of Catalytic Electrolytic Extraction

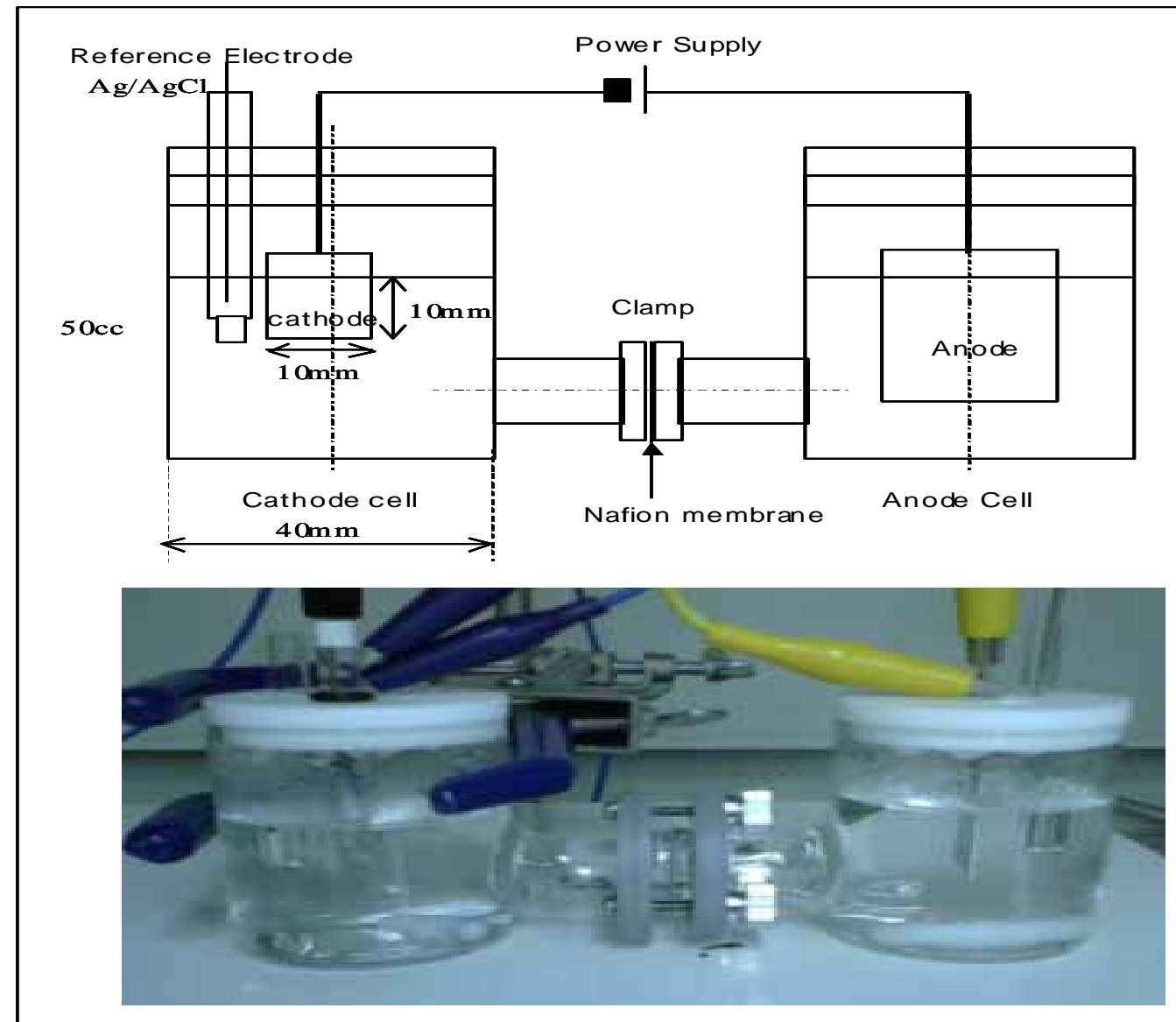


Fig. Experimental Cell

Table Reduction Ratios by Catalytic Electrolytic Extraction

System	Reduction ratio / %					Composition on electrode Surface	
	Pd	Ru	Rh	Re	Tc		
Pd	>99	-	-	-	-	-	-
Ru	-	14	-	-	-	-	-
Rh	-	-	>99	-	-	-	-
Re	-	-	-	16	-	-	-
Tc	-	-	-	-	-	1.7	-
Pd-Ru	99.3	60.9	-	-	-	-	Pd Ru
Pd-Rh	99.0	-	84.7	-	-	-	Pd Rh
Pd-Re	99.4	-	-	10.0	-	-	Pd > Re
Ru-Rh	-	58.2	32.5	-	-	-	Ru Rh
Ru-Re	-	14.5	-	13.5	-	-	Ru > Re
Rh-Re	-	-	10.0	43.0	-	-	Rh > Re
Pd-Ru-Rh-Re(1:1:1:1)	95.7	46.0	14.5	19.0	-	Pd Ru Rh > Re	
Pd-Ru-Rh-Re(3.5:4:1:1)*	99.0	11.8	2.10	33.4	-	Pd Ru Rh > Re	
Pd-Ru-Rh-Re(3.5:4:1:1)*	94.7	16.5	26.6	55.3	-	Pd Ru Rh > Re	

*1 : Pd block addition

*2 : Pd 5 divided additon

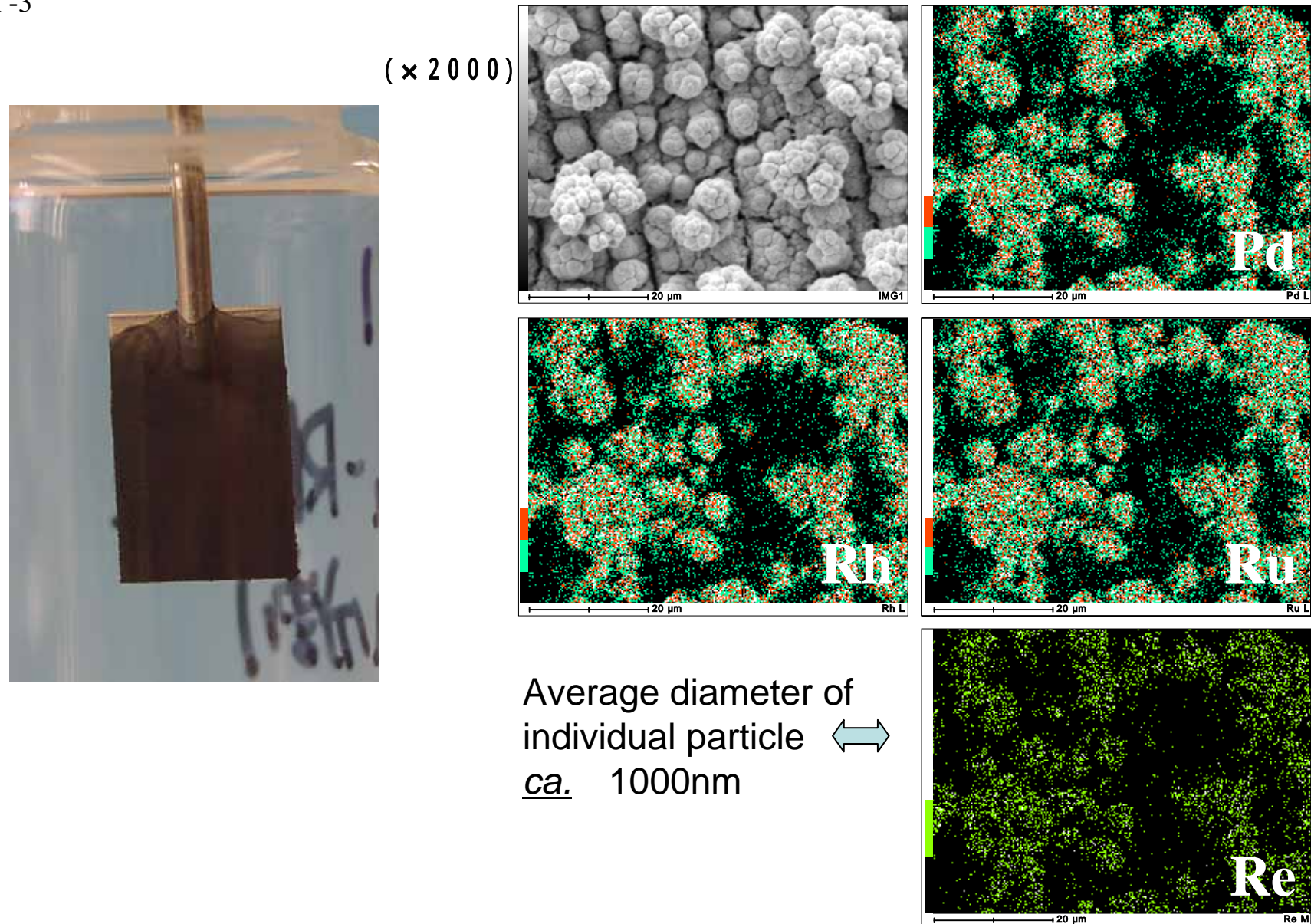


Fig. EDS(EPMA) of the deposits on the Pt Electrode from Nitric Acid Solution ; Soln. Composition : Pd-Ru-Rh-Re(3.5:4:1:1) , Divided Addition of Pd^{2+}

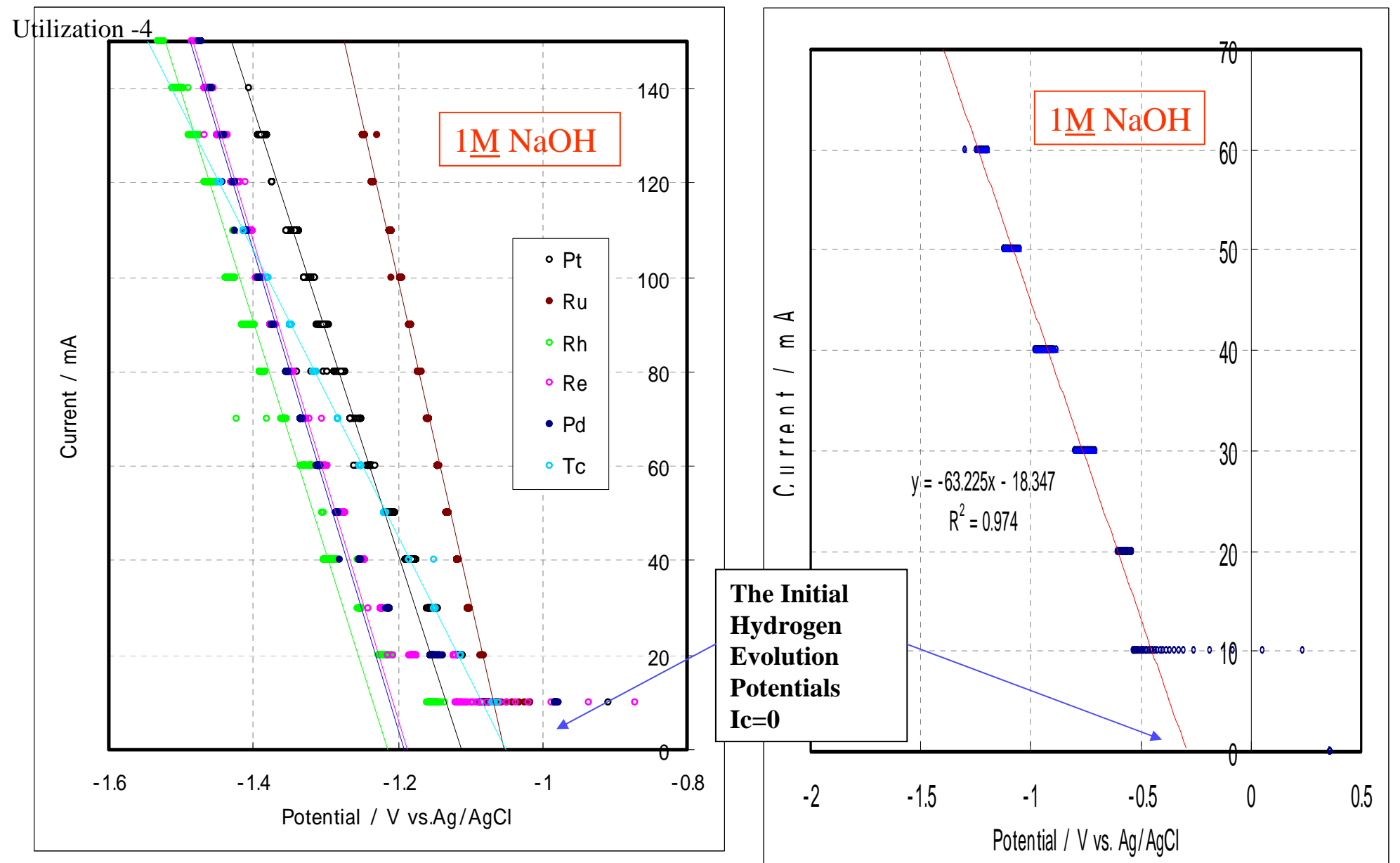


Fig. The Cathodic Polarization Curves of Pd, Ru, Rh, Re and Tc deposit Pt Electrodes and Pt Electrode (*left*), and Pd-Ru-Rh-Re deposit Pt Electrode* (*right*) *Soln. Composition : 3.5:4:1:1, Pd²⁺ Divided Addition

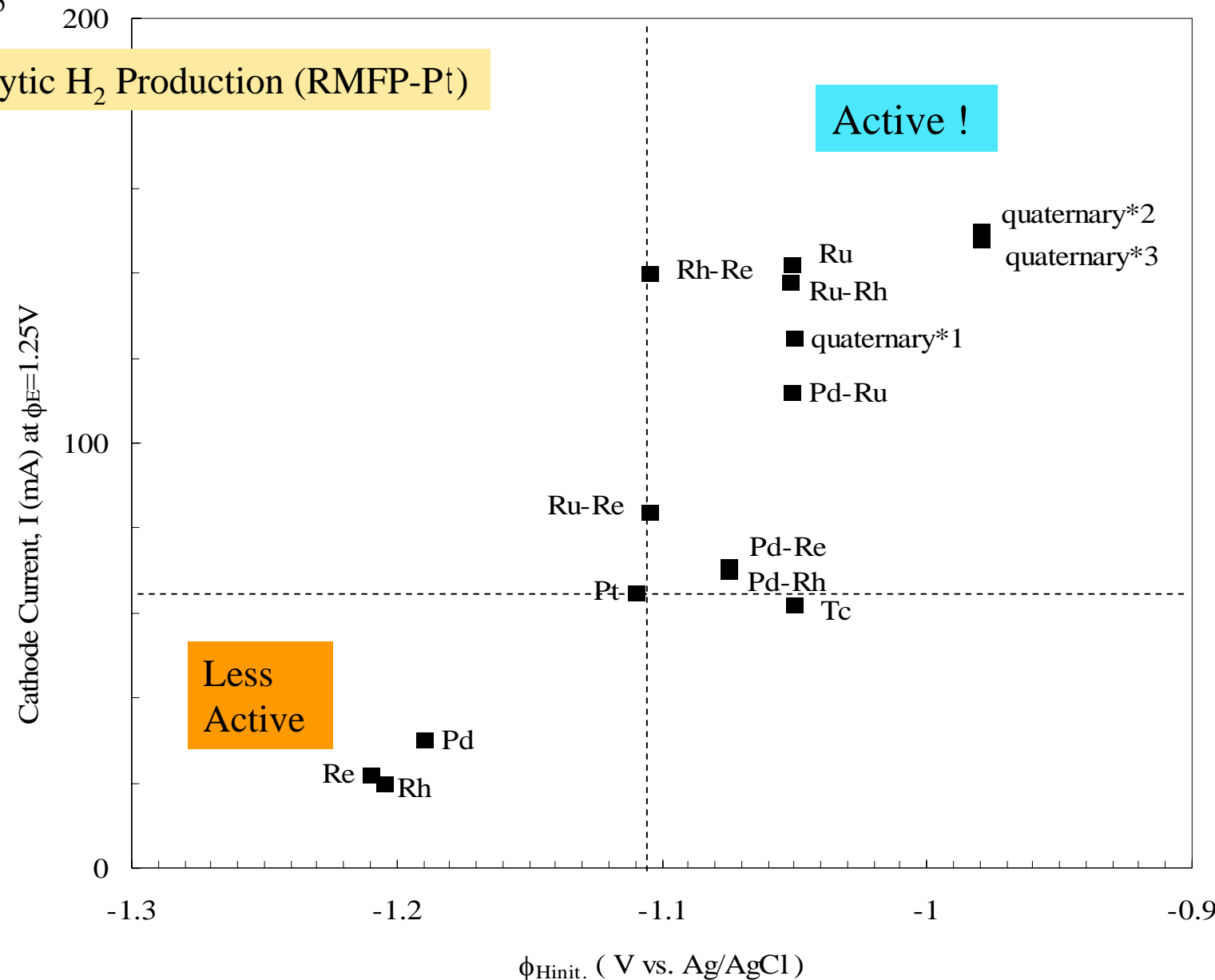
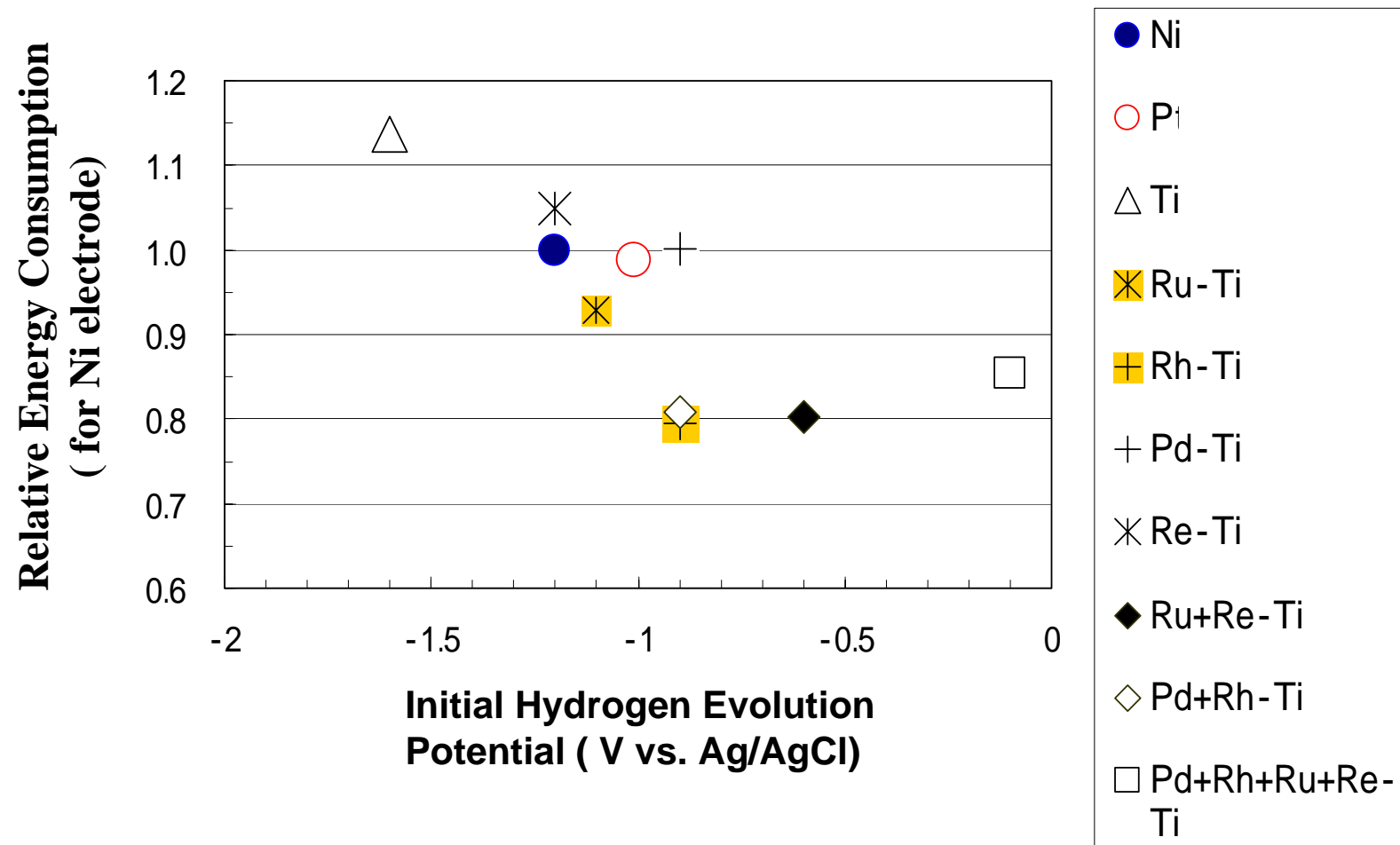


Fig. Relation between Cathodic Current Corresponds to Hydrogen Evolution at -1.25V and Initial Hydrogen Evolution Potential ($\phi_{Hinit.}$) on each Deposit Electrode in 1M NaOH.

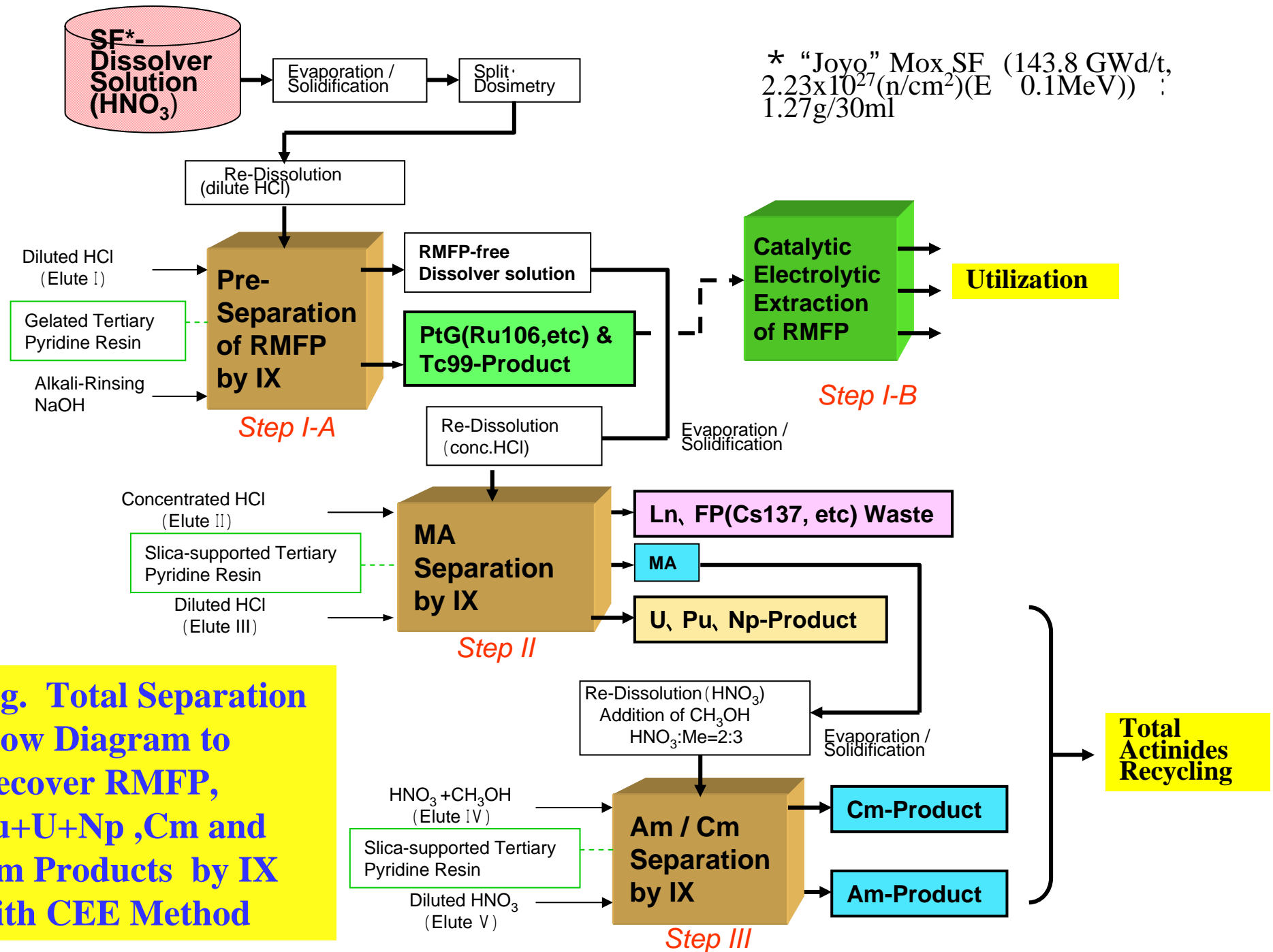
Deposits from the quaternary ionic solution; *1, Pd:Ru:Rh: Re=1:1:1:1, *2, Pd:Ru:Rh:Re=3.5:4:1:1(Pd²⁺ bloc addition), *3, Pd:Ru:Rh:Re= 3.5:4:1:1(Pd²⁺ divided addition)

Electrolytic H₂ Production (RMFP-Ti)



**Fig. Energy Consumption for Electrolysis of 1M NaOH,
in the case of RMFP deposit Ti Electrodes**

Direction -1



Direction -2 (Bq) (%)

Am 241	9.88E+4	100
Eu 155	6.10E+4	100
Ce 144	1.24E+5	100
Sb 125	1.07E+4	100
Ru 106	2.76E+4	100
Cs 137	7.18E+5	100

SF Dissolver
Solution
0.5M HCl

* "Joyo" Mox SF
(143.8 GWd/t,
 $2.23 \times 10^{27} (\text{n/cm}^2)(E)$
 $0.1 \text{MeV})$)
1.27g/30ml

Am 241	4.77E+1	0.05
Eu 155	2.59E-1	0.00
Ce 144	-	0.00
Sb 125	4.26E-2	0.00
Ru 106	-	0.00
Cs 137	3.27E+2	0.05

H₂O Rinsing

Pre-Filtration

Gelated Tertiary
Pyridine Resin

(Water-rinsed
Resin)

1M NaOH Rinsing

(Alkaline soln.- rinsed Resin)

Am 241	7.16E+0	0.01
Eu 155	3.28E+0	0.01
Ce 144	1.70E+1	0.01
Sb 125	1.17E+3	10.9
Ru 106	5.51E+2	2.00
Cs 137	1.19E+1	0.00

Ru106- free Feed D.S. *

Am 241	7.28E+2	0.74
Eu 155	3.16E+4	> 51.8
Ce 144	5.36E+4	> 43.2
Sb 125	3.57E+2	> 3.34
Ru 106	-	0.00
Cs 137	5.01E+5	> 69.8

Am 241	-	-
Eu 155	-	-
Ce 144	-	-
Sb 125	9.86E-5	0.00
Ru 106	-	-
Cs 137	-	-

* (FP,Pu fractions, excluding MA fraction)

Direction -3

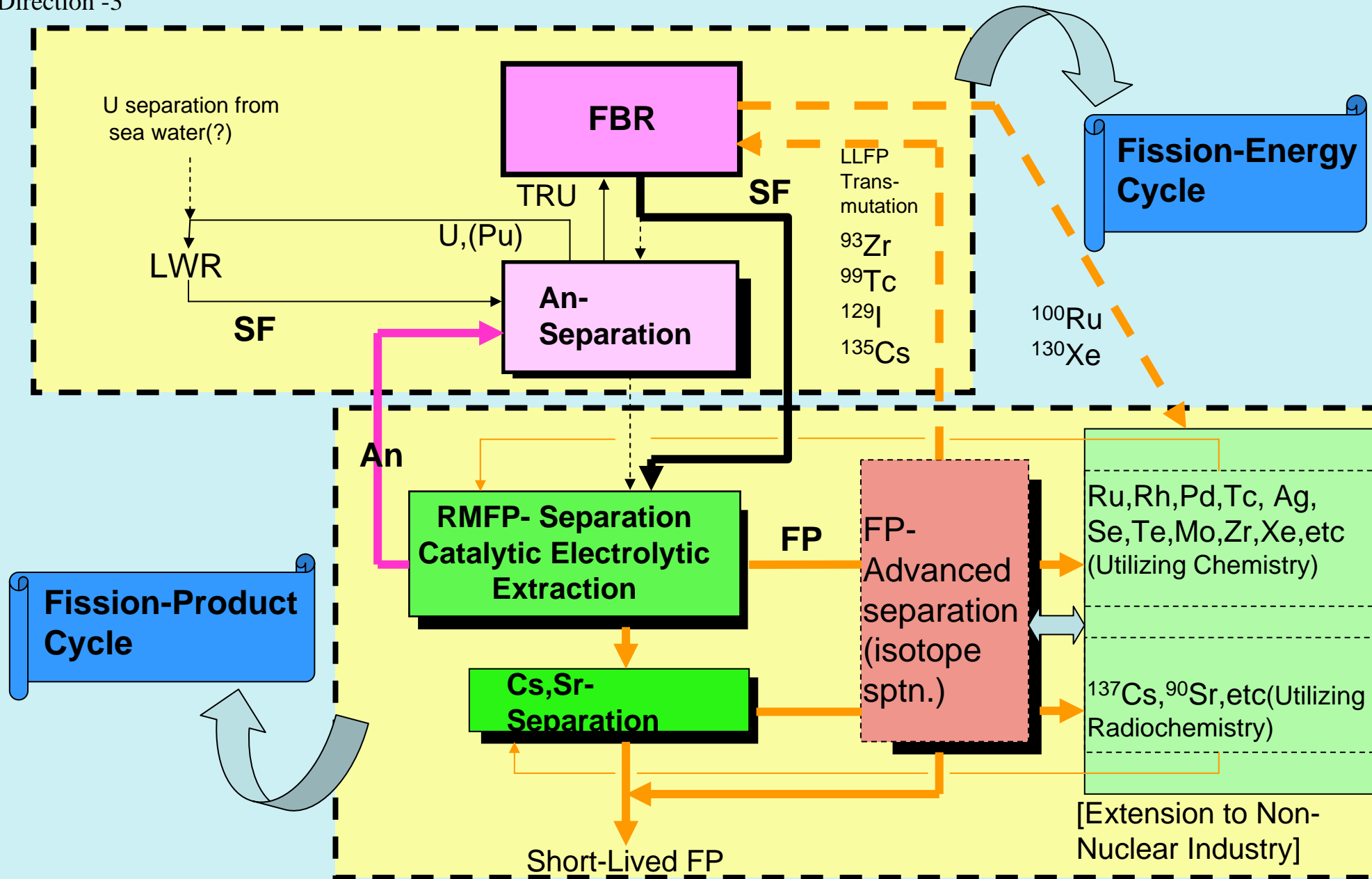


Fig. New Back-End Concept ; *Fission-Energy Cycle and Fission-Product Cycle*

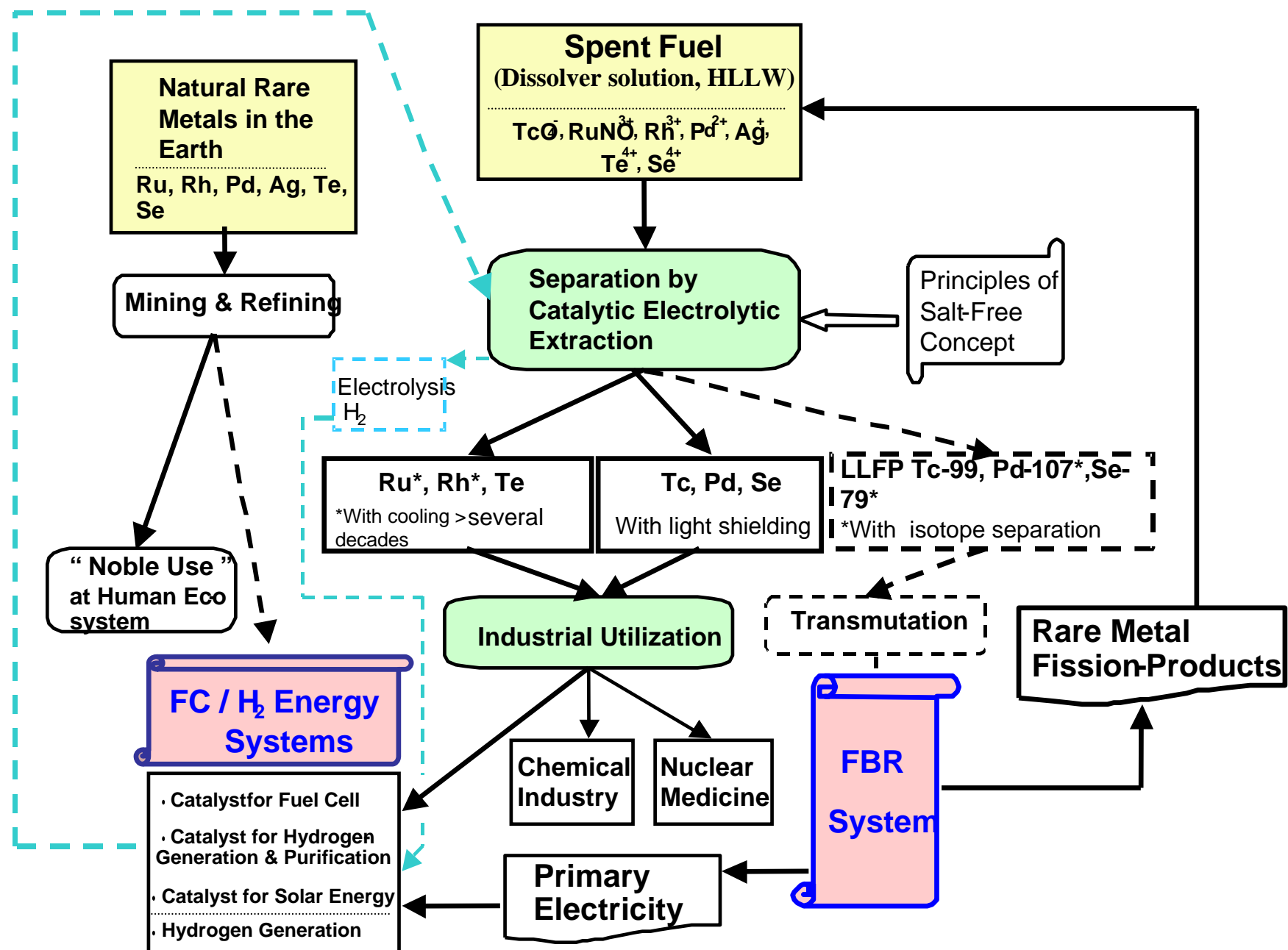


Fig. Symbiotic Energy System by Hydrogen and Nuclear, Bridging by RMFP

Conclusions

Separation and Fabrication

- Abundance of RMFP (Ru, Rh, Pd, Tc, Se, Te) in Spent Fuel
- Applicable of Catalytic Electrolytic Extraction (CEE) Method

Utilization

- RMFP as Catalysts of H₂ Production and Fuel Cell
- Excellent Ability of Quaternary, Pd-Ru-Rh-Re deposit Pt or Ti electrodes for Electrolysis of either Alkaline or Sea Water
- Expectation of ⁹⁹Tc and Re in this direction of Utilization

Strategic View

- Symbiotic Energy System by hydrogen and Nuclear, bridging by RMFP
- New Distribution of Precious Rare Metal
Natural RM “Noble” Use, RMFP Industrial Use
- New Back-End Fuel Cycle
Fission-Energy cycle and Fission-Product cycle

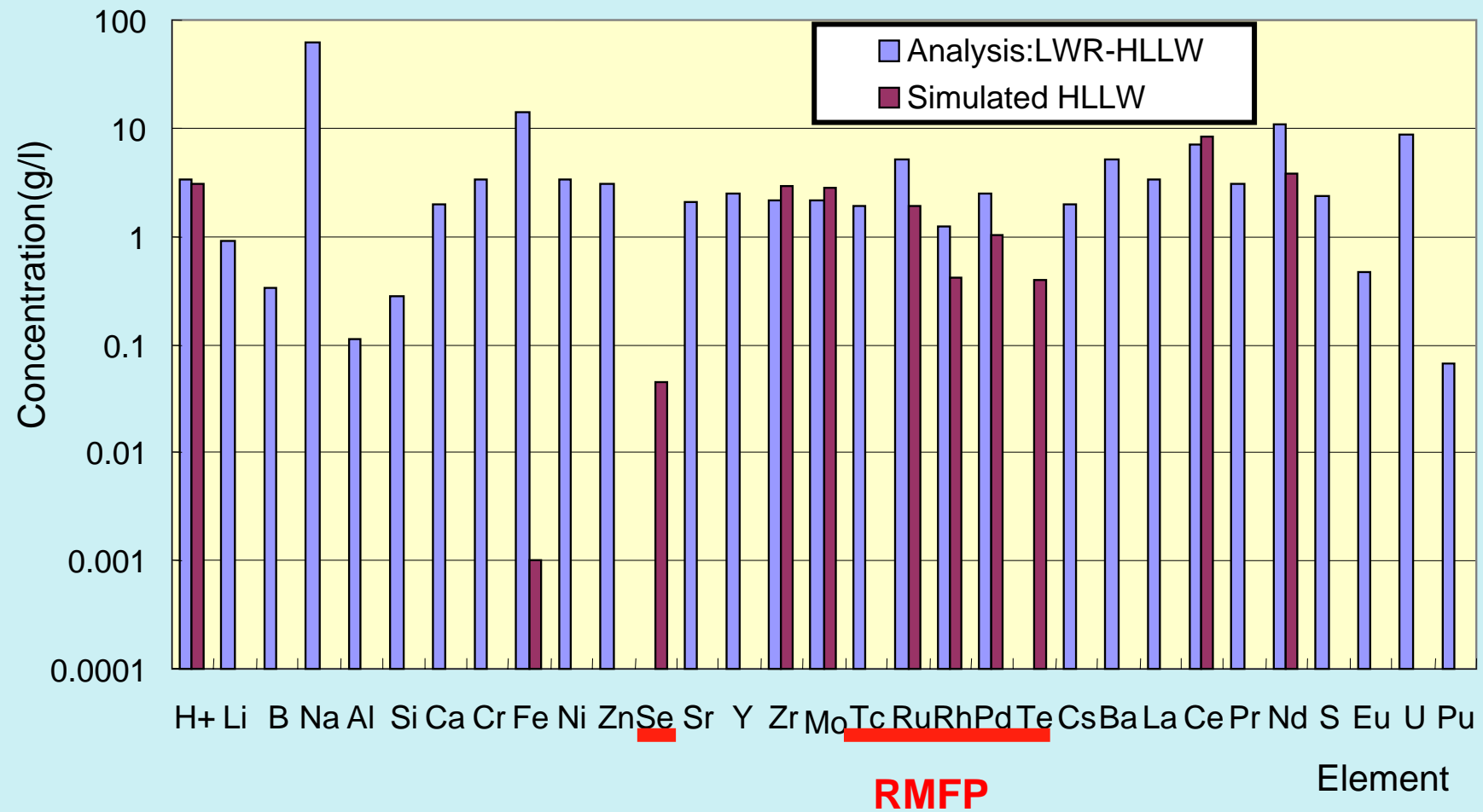
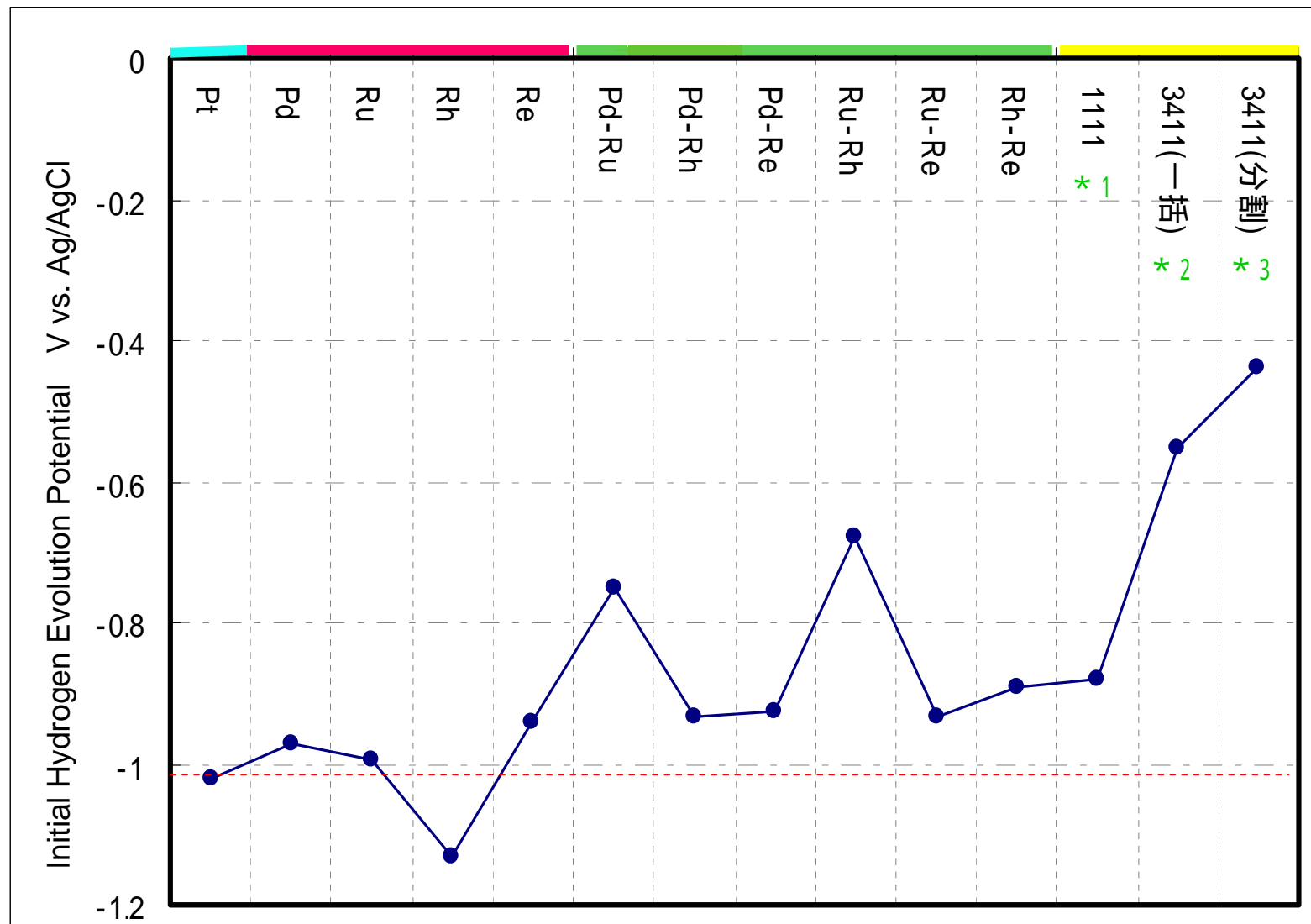


Fig. Elemental Composition of High Level Liquid Waste (HLLW)
(H^+ : mol/l)

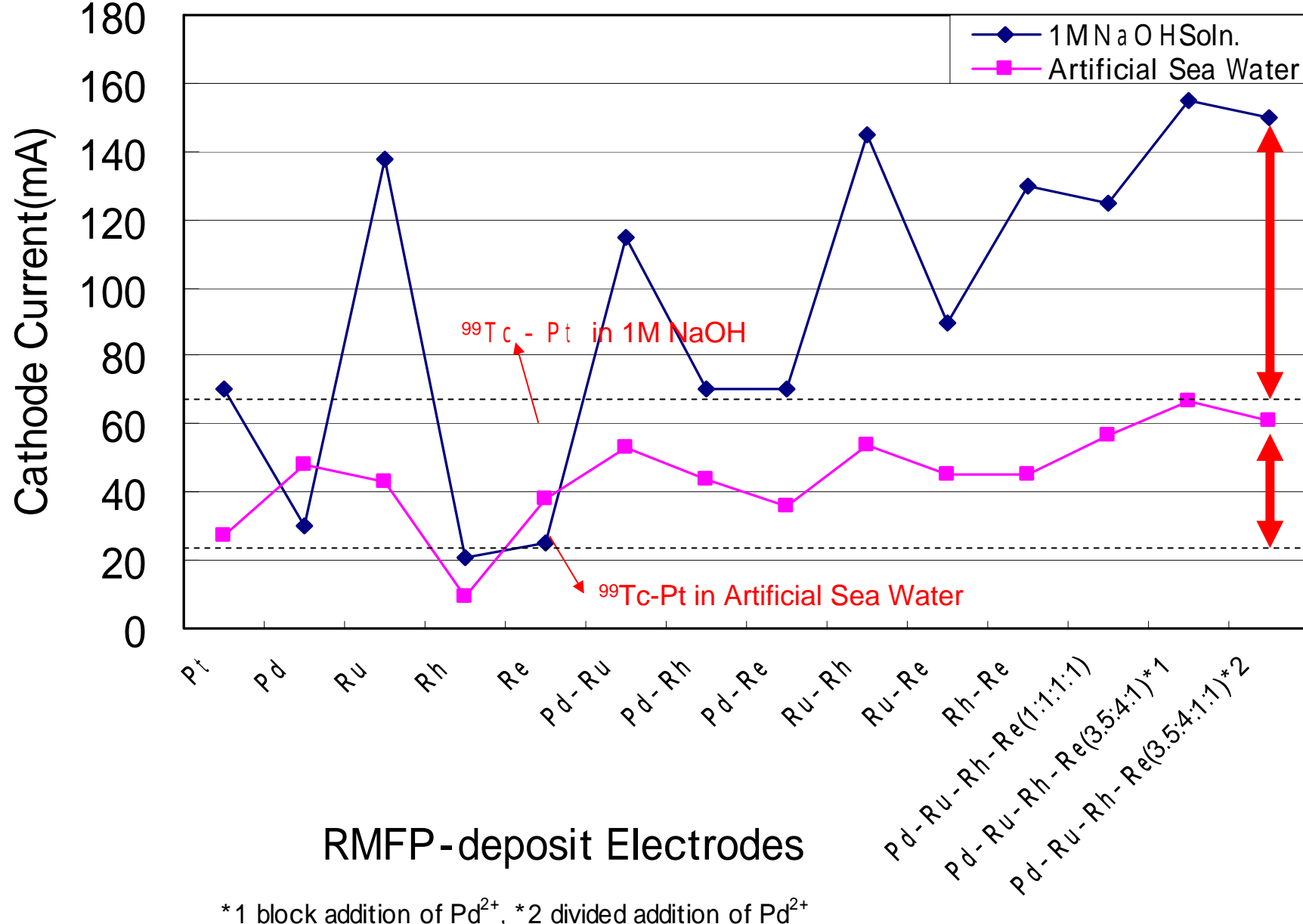


*1 Pd-Ru-Rh-Re=1-1-1-1 *2 Pd-Ru-Rh-Re=3-4-1-1 ; Pd/(Ru+Rh+Re)=1.6 Bloc Addition of Pd²⁺

*3 Pd-Ru-Rh-Re=3-4-1-1 ; Pd/(Ru+Rh+Re)=1.6 Continuous Addition of Pd²⁺

**Fig. The Initial Hydrogen Evolution Potentials
on Various RMFP-deposited Pt Electrodes**

Utilization -6



RMFP-deposit Electrodes

*1 block addition of Pd^{2+} , *2 divided addition of Pd^{2+}

Fig. Cathodic Currents for Hydrogen Evolution of RMFP deposit Pt Electrodes at -1.25V (V vs. Ag/AgCl) in 1M NaOH and in Artificial Sea Water